

(SC-présentement la technologie H.264 et présentée toutefois on ne parle pas de l'impact sur le projet des éléments présentés. On veut peut-être le faire ou peut-être pas...)

1 H.264

La norme de compression vidéo H.264, aussi connu sous le nom de *MPEG-4 Part 10*, suscite un grand intérêt autant commercial qu'académique, vu ses performances impressionnantes (SC- impressionnant en terme de quoi?) en regards des standards préexistants et les technologies de pointe qui le composent. Ce standard (SC- voir wiki, c'est mieux de dire norme dans ce cas, remplacer partout standard par norme, aussi faire des phrases plus courtes) , approuvé en mai 2003, raffine les technologies de ces prédécesseurs MPEG-2 et H.263. De plus, il intègre ~~des plusieurs~~ innovations avant-gardistes. À ce jour, H.264 est un incontournable pour les applications vidéos ~~tels-telles~~ le *Blu-Ray*, ~~l'IPTV et le streaming~~ la télévision sur IP (*IPTV*) et la lecture vidéo en transit (*streaming*) (SC- toujours voir <http://www.granddictionnaire.com>) . Ce chapitre présente ~~sommairement~~ (SC- Le chapitre est un objet inerte et ne peut donc pas présenter des choses. Dire Nous allons présenter...) ~~sommairement les concepts importants de la~~ H.264 ainsi que les concepts liés à l'encodage vidéo.

1.1 Survol

Le standard H.264 offre, pour une fidélité visuelle (SC- ou qualité visuelle) comparable à MPEG-2, une économie de 50% du débit [1]. Cette réalisation n'est pas l'œuvre d'une innovation majeure, mais bien de l'effet combiné de plusieurs innovations dans divers aspects de l'encodage vidéo (SC- dans le paragraphe précédent tu dis que l'on utilise des technologies de pointe et avant-gardiste, puis ici c'est juste un effet combiné de petites innovations). Pour mieux comprendre cette technologie, commençons ~~par une description sommaire des~~ décrire sommairement les étapes d'encodage vidéo.

(SC- il faut refaire tes figures en français, le faire plus tard)

(SC- pourquoi ne pas référer à la figure 1 lorsque tu expliques les différentes étapes? Je pense que cela doit être le but de ce paragraphe spécifique. Tu dois présenter sommairement la figure et expliquer les étapes. Ensuite dans les sous-sections qui suivent tu expliques plus en détail chaque étape. Aussi, pas besoin de mettre inter et intra en italique partout dans le texte.) (SC- bien présenter les définitions, c'est quoi un macrobloc? etc.) Tout d'abord, le signal vidéo est divisé en macroblocs ~~;- ceux-ci~~. Ceux-ci démontrent une forte corrélation spatiotemporelle (SC- juste localement), ce qui rend possible la prédiction de macroblocs (SC- la prédiction est toujours possible mais pas toujours efficace; ce qui rend efficace la prédiction?) . La prédiction ~~réduit~~ permet de réduire considérablement la quantité de données à ~~encoder~~transmettre (SC- il faut être très préci dans les termes que tu utilises), il ne suffit qu'à ~~encoder les données~~ transmettre les modes de prédiction utilisés ainsi que le différentiel entre le bloc

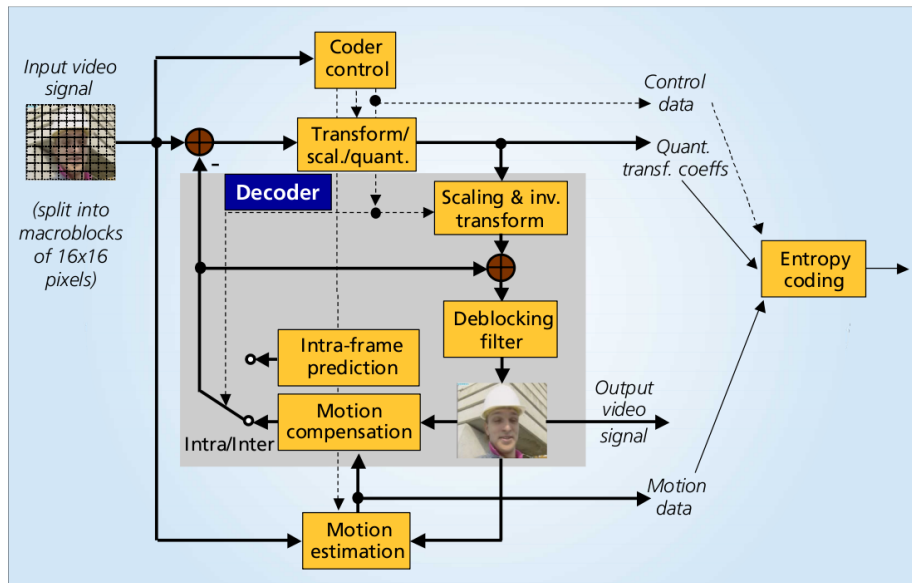


FIGURE 1 – Survol des composantes de la norme H.264 ref. [2].

prédit et le bloc à encoder (SC- pas évident pour le lecteur que c'est moins de bits que de tout envoyer). La norme H.264 permet deux types de **prédictions** soit celle prédiction. La première est basée sur les blocs d'une autre trame et appelée prédiction (*inter*), ou. La seconde est obtenue en interpolant le contenu des blocs voisins et est appelée prédiction (*intra*). Afin d'optimiser l'encodage entropique (SC- optimiser le codage entropique?) du différentiel, celui-ci subit une transformée entière ainsi qu'une quantification. La division du signal vidéo en macroblocs crée des effets de bloc dans l'image, ceux-ci sont mitigés à l'aide du (SC- utiliser des termes français) *deblocking filter*.

1.2 La prédiction de macrobloc

1.2.1 La prédiction de macrobloc *inter*

Une source importante de redondance exploitée par la norme H.264 est la redondance inter-image, souvent appelée *inter*. La prédiction *inter* crée un modèle de prédiction basé sur une ou plusieurs trames vidéo préalablement décodées [3]. Ce modèle de prédiction est fondé sur la recherche et la compensation de mouvement. (SC- selon moi c'est basé sur de l'appariement de blocs entre deux trames, i.e. trouver le bloc qui ressemble le plus à celui que l'on veut transmettre.)

Tout d'abord, définissons un bloc comme un ensemble contigu de pixels de taille $M \times N$. En H.264, les blocs peuvent être de taille 16x16, 8x8, 16x8, 8x16, 4x4, 8x4 et 4x8. Au lieu d'encoder directement les pixels d'un bloc, la prédiction *inter* vise, par la recherche de mouvements, à déterminer le bloc,

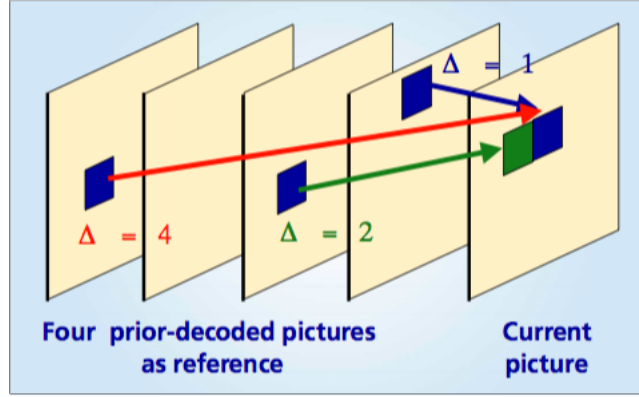


FIGURE 2 – Vecteurs de mouvements provenant de ~~4~~ quatre trames vidéo préalablement décodées, utilisées pour encoder un bloc dans la trame courante ~~ref.~~ [2].

provenant d’une trame déjà décodée, le plus fidèle au bloc à encoder. Ceci mènera à une petite erreur de prédiction et donc à moins de bits à transmettre que (SC- il faut expliquer pourquoi une plus petite erreur de prédiction mène à une petite erreur résiduelle transmise et moins de bits. Mais je vois que ton prochain paragraphe revient sur la figure et ensuite on revient au problème du résiduel. Essayait d’amener le lecteur à comprendre en définissant étape par étape les notions sans parler de choses futures qu’il ne peut pas comprendre pour l’instant.)

Tel qu’illustré dans à la Figure 1, l’encodeur décode les trames qu’il encode (SC- il décode ce qu’il encode, ça va surprendre le lecteur. Faut le dire autrement). Les trames décodées servent à améliorer la précision des prédictions, car elles tiennent compte des artefacts dus à l’encodage. Ceci explique pourquoi la recherche de vecteurs de mouvements est effectuée dans les trames préalablement décodées. (SC- je suis pas d’accord. aussi le lecteur aura de la difficulté à comprendre)

(SC- il faut commencer par définir les blocs à encoder et un bloc de la trame de référence situé à (u,v). etc. aussi SAD doit dépendre de C et R pas juste u et v, c’est quoi p?)

Soit (u, v) le vecteur de mouvement entre le bloc à encoder et le bloc le plus fidèle obtenu avec

$$(u, v) = \arg \min_{(u,v) \in [-p,p] \times [-p,p]} \text{SAD}(u, v) , \quad (1)$$

où la somme de la différence absolue (SAD) du bloc à la position (x, y) dans la trame courante \mathbf{C} par rapport à une trame de référence \mathbf{R} se définit comme étant

$$\text{SAD}(u, v) = \sum_{k=0}^{M-1} \sum_{l=0}^{N-1} |\mathbf{C}_{x+k,y+l} - \mathbf{R}_{x+k+u,y+l+v}| . \quad (2)$$

En supposant que le bloc à encoder et le bloc résultant de la recherche de vecteurs de mouvements soient identiques, il ne suffirait que d'encoder (u, v) et le numéro de la trame de référence (Δ) pour représenter le bloc à encoder. Cependant, il en est rarement ainsi; il est souvent nécessaire d'encoder le différentiel entre le bloc prédit et le bloc à encoder.

De plus, (u, v) ne sont pas nécessairement entiers (le déplacement des objets ne se fait généralement pas par pas de pixels entiers). La norme H.264 permet l'utilisation de vecteurs de mouvements pouvant aller être précis jusqu'au quart de pixel. Deux approches d'interpolation distinctes sont utilisées pour le demi et le quart de pixel. Le demi-pixel **b**, dans la Figure 3, est obtenu à l'aide de l'équation suivante provenant de l'application d'un filtre à réponse impulsionnelle finie suivant :

$$\mathbf{b} = \text{round} \left(\frac{E - 5F + 20G + 20H - 5I + J}{32} \right). \quad (3)$$

Dans l'équation précédente, les positions des pixels E, F, G, H, I et J provenant de sont illustrées à la Figure 3.

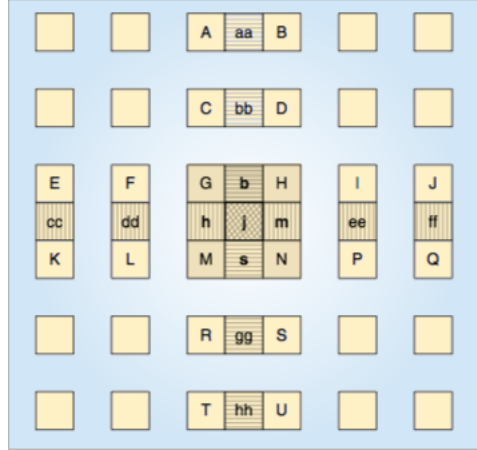


FIGURE 3 – Interpolation au demi-pixel. Inspiré de ref-[3].

(SC- il faut présenter TOUTES les figures, ici on ne sais pas ce que sont E, F, ce sont des valeurs de pixels à des positions entières, etc). Pour les valeurs au quart de pixel, l'interpolation linéaire est utilisée entre les positions au demi pixel. Soit **a** une valeur au quart de pixel située entre G et **b** dans la Figure 3. On obtient **a** en effectuant

$$\mathbf{a} = \text{round} \left(\frac{G + \mathbf{b}}{2} \right). \quad (4)$$

Le filtre à réponse impulsionnelle finie de l'équation XX ainsi que l'interpolation linéaire sont des mesures d'interpolation utilisées précédente sont utilisés seulement pour la luminance. Les composantes chromatiques sont obtenues à l'aide

d'une interpolation bilinéaire. Pour obtenir la composante chromatique de \mathbf{a} , on a recours à

$$\mathbf{a} = \text{round} \left(\frac{(8 - d_x) \cdot (8 - d_y)A + d_x \cdot (8 - d_y)B + (8 - d_x) \cdot d_y C + d_x \cdot d_y D}{64} \right) . \quad (5)$$

Où A, B, C, D sont les valeurs chromatiques des pixels entiers à une distance (d_x, d_y) entourant la valeur à interpoler. Cette dernière est située à une distance (d_x, d_y) de (SC- QUOI exactement ? Pas clair car on ne sait même pas comment A,B,C et D sont disposés dans faire du reverse engineering e la formule)

(Pourquoi ne pas commencer par présenter cela dans ta section ? Il faut vraiment présenter les choses dans un ordre logique pour quelqu'un qui connaît pas ou peu la video) Cela dit, un macrobloc contient 16×16 valeurs de luminances qui peuvent être séparées de 4 façons décomposés de quatre manières distinctes : une partition 16×16 , deux partitions 16×8 , deux partitions 8×16 et quatre partitions 8×8 . De plus, les chacun des sous-macroblots 8×8 peuvent également être séparés décomposé : deux partitions 8×4 , deux partitions 4×8 , et quatre partitions 4×4 . Le tout est résumé à la Figure 4.

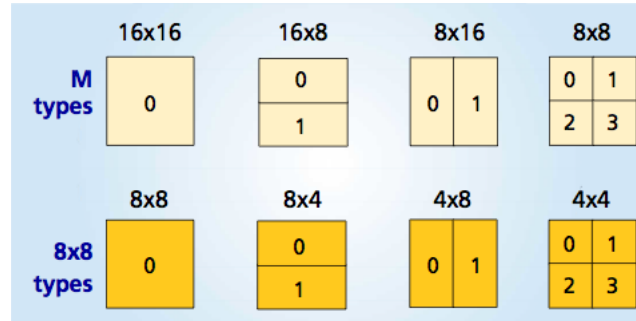


FIGURE 4 – Partitions de macroblocs et de sous-macroblots ref.-[2].

(SC- il me semble que tu dois mettre la référence dans la figure sans mettre ref.)

La séparation de macroblocs permet d'optimiser l'encodage selon le niveau de détails d'une surface. Un macrobloc 16×16 est efficace pour les régions lisses avec peu d'énergie. (SC-faux, ça peut être efficace pour une grande zone avec mouvement uniforme et translationnel)

Des partitions plus petites sont utiles lorsque le différentiel entre la prédiction et le bloc à encoder est élevé (SC- revoir, c'est pour un bloc ne suivant pas mvmt uniforme ou translationnel). Elles permettent d'utiliser plusieurs vecteurs de mouvements (un par partition) pour mieux modéliser la surface. Cependant, les vecteurs de mouvements supplémentaires doivent, eux aussi, être encodés ce qui en réduit les gains transmis : ce qui décourage l'usage inutile de petites partitions.

Lorsque le nombre de partitions est élevé, encoder les vecteurs de mouvements de chacune d'elles peut engendrer un coût binaire considérable et

particulièrement à bas débit. C'est pourquoi, dans la norme H.264, les vecteurs de mouvements sont encodés différenciellement à l'aide de la médiane ou d'une prédiction directionnelle guidée par les blocs voisins [4]. Cette prédiction est efficace, car la redondance inter-trame cause une forte corrélation entre les vecteurs de mouvements de blocs avoisinants. Les blocs utilisés pour la prédiction sont des blocs préalablement décodés, qui appartiennent à la même tranche que le bloc à prédire.

1.2.2 La prédiction de macrobloc *intra*

Une seconde source considérable de redondance exploitée par la norme H.264 est la redondance spatiale à l'intérieur d'une image, aussi connue sous le nom de *intra* (SC- la redondance ne porte pas le nom de intra). La prédiction *intra* vise à modéliser la texture d'un bloc ~~selon à partir~~ celle des blocs avoisinants.

À l'~~égale-égal~~ de l'encodage *inter*, l'encodage *intra* repose sur le concept de blocs et de macroblocs (SC-tu n'as pas défini formellement c'est quoi un bloc et un macrobloc). On y retrouve également la notion de blocs à tailles variables visant à optimiser l'encodage en fonction de la variation du niveau d'énergie d'une surface (SC- variation du niveau d'énergie d'une surface?). La norme H.264 permet à l'encodeur de choisir entre des macroblocs 16×16 ou des sous-blocs 4×4 (SC- luma?). Selon le choix, différents modes de prédiction sont offerts.

Fait intéressant, la prédiction *intra* étant ~~aeecomplit~~-accomplie dans le domaine spatial (contrairement à H.263 et MPEG-4 Visual qui utilisent le domaine fréquentiel (SC mettre ref)). Toutefois, une telle pratique peut mener à ~~de la une~~ propagation d'erreurs, si la prédiction repose sur des données corrompues. (SC- comment est-ce différent que ce soit dans le domaine spatial ou fréquentiel?)

L'approche prédictive réduit considérablement la quantité de données à encoder (SC- redondance). En outre, seulement le mode de prédiction et le différentiel entre le bloc à encoder et le bloc prédit doivent être ~~eneodés~~transmis. Quoique le différentiel comporte le même nombre de pixels, l'énergie de ceux-ci est moindre, ce qui en facilite (SC- pas plus facile, juste plus efficace) l'encodage dans les étapes subséquentes.

La norme H.264 définit 9 modes de ~~prédiction~~-prédiction liés à l'utilisation de blocs 4×4 . Huit de ces modes sont des extrapolations directionnelles à des angles de 26.6° , 45° et 90° , tandis que le mode 2, aussi connu sous le sigle DC, est la moyenne des pixels A à D et I à J (voir Figure 5) préalablement encodés.

(SC fontes trop petites dans la figure, la faire sur 4 lignes)

Soit \mathbf{d} , le pixel situé dans le coin supérieur droit du bloc 4×4 prédit par le mode 4 (diagonale sud-est). On obtient \mathbf{d} à l'aide de la formule suivante :

$$\mathbf{d} = \text{round} \left(\frac{B + 2C + D}{4} \right) . \quad (6)$$

La Figure 6 ~~démontre-illustre~~ la prédiction obtenue pour chaque mode offert pour un bloc 4×4 ainsi que la somme de l'erreur absolue (SAE) obtenue entre

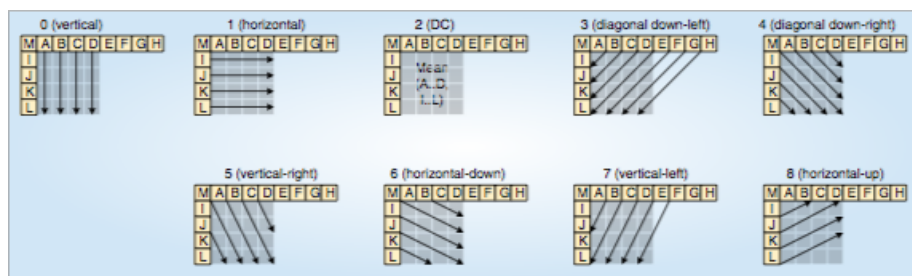


FIGURE 5 – Les modes prédictifs pour la luminance de blocs 4×4 , inspiré de [3].

la prédiction et le bloc à encoder. Dans cet exemple, le ~~mode~~ meilleur mode de ~~prédiction~~ utilisé serait 8, car il offre le plus petit SAE, soit 203.

(SC- il est inutile de montrer le SAE si on ne voit pas le bloc à encoder)

Tel qu'illustré à la (SC- figure en minuscule dans un texte français, partout sauf les figures elles-mêmes) Figure 7, H.264 spécifie ~~4~~ quatre modes de prédiction de macroblocs 16×16 : ~~horizontale, verticale~~ horizontal, vertical, DC et plane. ~~Où DC est~~ DC utilise la moyenne des pixels limitrophes horizontaux et verticaux, tandis que les trois autres approches sont des extrapolations. Contrairement aux 4×4 , les modes de prédictions 16×16 sont destinés aux surfaces lisses avec peu de variation d'énergie, ceci explique pourquoi ceux-ci sont plus simples.

(SC-fontes trop petites)

En ce qui concerne les composantes chromatiques, celles-ci se regroupent dans un bloc 8×8 , vu le sous-échantillonnage chromatique (SC-pas expliqué). Les mêmes types de prédictions que pour les blocs 16×16 sont employés ~~soit soient~~ : DC, horizontal, vertical et plane. Ceci est lié au fait que dans les images naturelles, les composantes chromatiques varient beaucoup moins que la luminance ; ceci en facilite la prédiction.

La norme H.264 inclut un mode I_PCM. Ce mode, souvent réservé aux blocs ~~anormaux~~ anormaux, se distingue par l'absence de prédiction et de transformée. Dans certains contextes, ce mode peut être plus avantageux que l'utilisation d'une prédiction. Par exemple, le cas où un bloc distinct nuirait aux prédictions subséquentes. Dans un tel cas, I_PCM permet à l'encodeur d'éviter l'altération de la prédiction, ce qui peut être moins coûteux à long terme que d'encoder le bloc distinct sans prédiction. (SC-pourquoi en parler si ton projet ne l'utilise pas?)

1.3 La transformée

Les approches présentées jusqu'~~a~~ à présent cherchent à éliminer la redondance spatiotemporelle d'une ~~sequence~~ séquence vidéo par l'utilisation de prédictions. Ces prédictions reposent sur ~~la~~ les corrélations ~~intrinsèque~~ intrinsèques aux don-

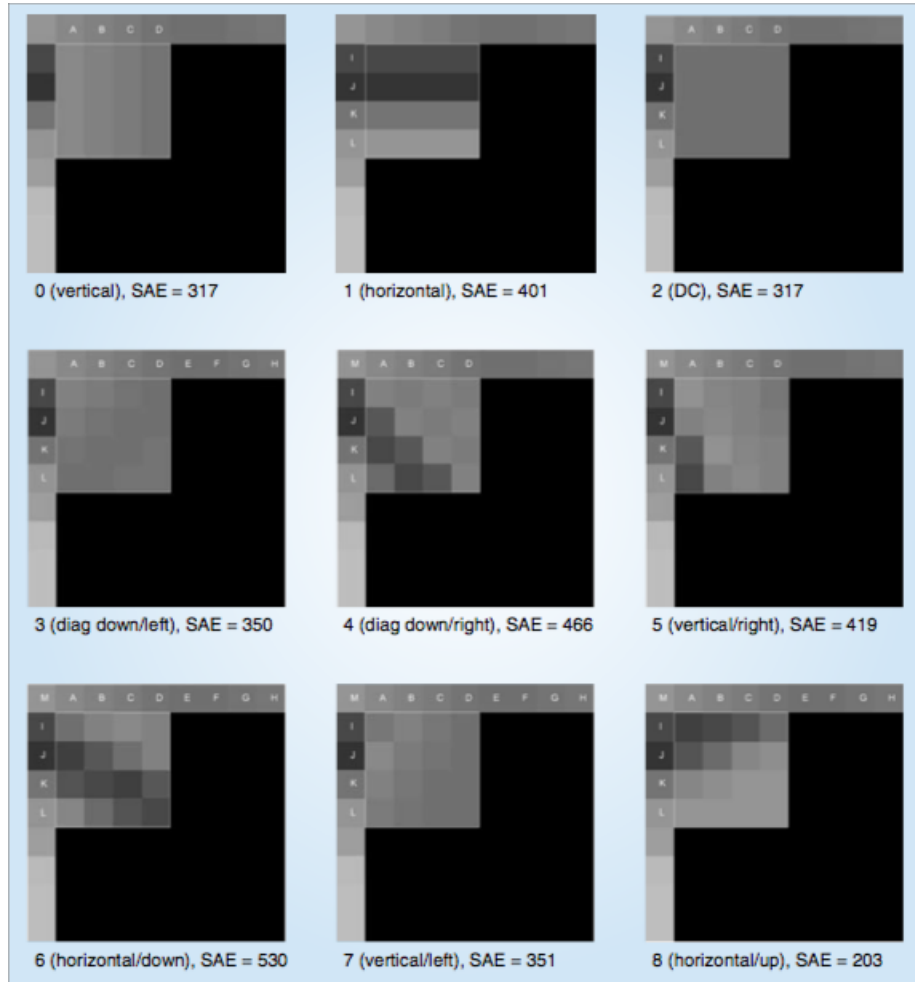


FIGURE 6 – ~~Résultats~~ Résultats de la prédiction des différents modes de blocs 4×4 , inspiré de [3].

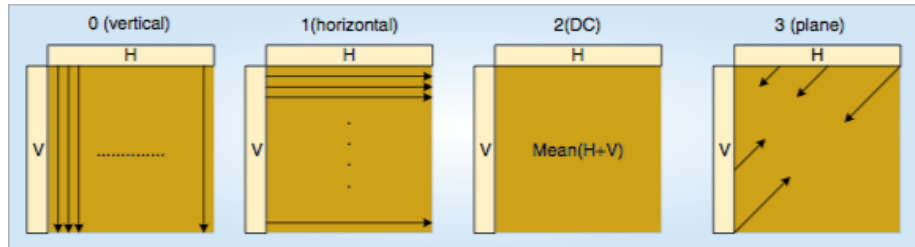


FIGURE 7 – Modes de prédiction de la luminance de blocs 16×16 , inspiré de [3].

nées d'une séquence vidéo. Ces prédictions sont imparfaites et ~~requiert que le différentiel~~ requièrent que le différentiel entre la prédiction et le bloc à encoder soit, lui aussi, encodé. Toutefois, ce différentiel, appelé erreur résiduelle, possède une forte autocorrélation. La transformée entière ~~definit~~ définie dans la norme H.264, a pour objectif de ~~décorrèler~~ décorrèler le différentiel afin d'en faciliter l'encodage. La matrice de transformation

$$\mathbf{H} = \begin{bmatrix} 1 & 1 & 1 & 1 \\ 2 & 1 & -1 & -2 \\ 1 & -1 & -1 & 1 \\ 1 & -2 & 2 & -1 \end{bmatrix} \quad (7)$$

possède des propriétés similaires à une transformée en cosinus discrète (DCT) 4×4 [5], qui est très prisée pour son aptitude à décorrèler un ensemble de données ~~tout en étant complètement indépendante de ce dernier~~.

La transformée entière possède plusieurs avantages par rapport à la DCT. D'une part, elle est plus simple et requiert seulement des additions et des décallages binaires ~~bit shift~~ (bit shift). D'autre part, son résultat étant entier, il n'y a pas de perte fractionnaires lors de la transformée inverse.

H.264 applique sa transformée sur des blocs 4×4 , ceci la distingue de ses prédécesseurs qui utilisent des blocs 8×8 . L'utilisation de blocs plus petits est justifiée par les améliorations substantielle de la précision des prédictions *intra* et *inter*, qui réduisent considérablement le résiduel à transformer. De plus, l'utilisation de blocs plus petits réduit grandement le bruit autour des bordures (souvent appelé *ringing* ou *musquito noise*). L'ordre de balayage des différentiels de blocs 4×4 est présenté à la Figure 8.

1.4 La quantification

Une nouveauté de la norme H.264, est qu'elle définit un paramètre de quantification qui exerce un contrôle logarithmique sur le pas de quantification, ses prédécesseurs utilisaient un contrôle linéaire. Le quantificateur est scalaire et peut varier pour la luminance et les composantes chromatiques. La valeur quantifiée Z de la valeur transformée Y à la position i, j est défini comme étant :

$$Z_{ij} = \text{round} \left(\frac{Y_{ij}}{Qstep} \right) \quad (8)$$

Où $Qstep$ est le pas de quantification et ~~round~~ round la fonction d'arrondissement afin d'obtenir des résultats entiers. La norme définit 52 valeurs ~~du~~ de pas de quantification indexées par le paramètre de quantification (QP), une augmentation de 6 de ce dernier double le pas de quantification. Ce grand nombre de valeurs permet à l'encodeur une meilleure précision, en ce qui a trait au compromis entre le débit binaire et à la qualité de l'image visuelle.

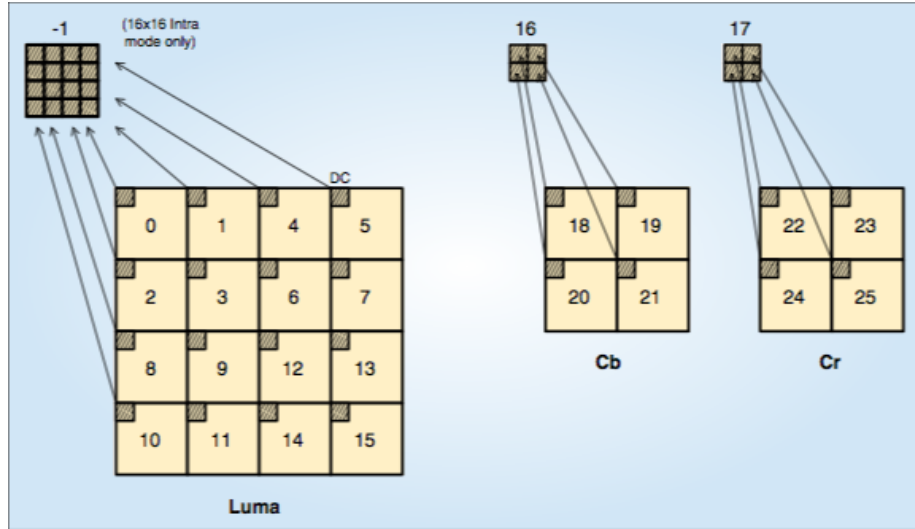


FIGURE 8 – ~~Visualisation de l'ordre~~ Ordre de balayage des ~~différentiels~~ coefficients de blocs à l'intérieur d'un macrobloc lors d'une transformée entière 4x4. [3].

1.5 L'encodage entropique

La norme H.264 innove dans le domaine du codage entropique en séparant le codage des paramètres de celui des données. Pour l'encodage de paramètres, ceux-ci sont représentés par des codes numériques qui sont encodés avec des codes à longueur variable appelés codes exponentiel-Golomb. Les valeurs des différentiels de prédiction sont encodées soit avec un codage entropique à longueur variable (CAVLC) ou un codage arithmétique binaire à contexte adaptatif (CABAC). Bien que CABAC offre de gain de compression d'environ 10% par rapport à CAVLC, ce dernier est prédominant dans les applications mobiles vu sa simplicité. C'est pour cette raison que dans cet ouvrage, nous concentrons nos efforts exclusivement sur la CAVLC.

1.5.1 Le codage exponentiel-Golomb

(SC- est-ce que cette section est utile. elle me semble trop détaillée pour nos besoins et pas assez pour comprendre. Quel est le but de mettre cela?)
L'encodage à taille variable exponentiel-Golomb est fortement structuré et se résume par :

$$[M \text{ zéros}]1[\text{suffixe}] \quad (9)$$

Ce code se divise en trois parties : préfixe, 1 et suffixe. Le préfixe est composé de M zéros. Par la suite, un 1 est ajouté dénotant la fin du préfixe. Finalement, le suffixe, de longueur M , contient le code numérique sous format binaire.

Soit c , un entier représentant un code numérique. Le nombre de zéros contenus dans son préfixe est défini par

$$M = \lfloor \log_2(c + 1) \rfloor, \quad (10)$$

et son suffixe est obtenu à l'aide de

$$\text{suffixe} = c + 1 - 2^M. \quad (11)$$

1.5.2 CAVLC

(SC-me semble incomplet, un exemple à moitié complété, des explications théoriques incomplètes, on pourrait mentionner les aspects importants comme un bit en erreur brise beaucoup l'information, perd la sync, etc.) L'encodage entropique à contexte adaptatif (CAVLC) est un encodage qui utilise une table de référence et qui est ~~optimisé~~ ~~optimisée~~ pour encoder les différentiels de prédictions transformés, quantifiés. ~~Ces derniers~~ Les différentiels à encoder possèdent des caractéristiques très intéressantes : ils se terminent par un grand nombre de zéros, on y retrouve des 1 dispersés et les données sont concentrées autour du coin supérieur gauche.

Voici l'exemple d'un bloc 4×4 provenant du différentiel de la prédiction et du bloc décodé, qui par la suite, a été transformé et quantifié.

$$\begin{bmatrix} 8 & 3 & 1 & 0 \\ 7 & 0 & 0 & 0 \\ 1 & 0 & 0 & 0 \\ 0 & 0 & 0 & 0 \end{bmatrix}$$

Ce bloc est lu en ordre *Zig-Zag*, ce qui donne la suite suivante de ~~chiffre~~ chiffres :

8, 3, 7, 1, 0, 1, 0, 0, 0, 0, 0, 0, 0, 0, 0

Pour encoder ces chiffres avec CAVLC, on commence par encoder les valeurs supérieures à 1 en ordre *Zig-Zag* inversé (7,3 et 8) à l'aide d'une table de référence. Pour les 1 et 0 constituant la fin de la série, quatre paramètres, ~~déeris~~ décrits à la table 1, sont utilisés.

1.6 Le *deblocking filter*

Le filtre anti-blocs, mieux connu sous son nom anglophone *deblocking filter*, a pour objectif de réduire l'apparence d'effets de bloc (variation importante de la valeur des pixels en bordure de blocs). L'effet secondaire le plus important produit par les algorithmes de compression vidéo présents dans la norme H.264 (SC-pas de verbe dans la phrase ?). Il est le produit d'une discontinuité spatiale provenant de variations d'encodage de blocs adjacents.

Le *deblocking filter* agit en bordure de blocs dans le but de lisser les variations importantes d'intensités des valeurs de pixels, comme ~~démontré~~ qu'illustré à

TABLE 1 – Paramètres qui régissent l’encodage de la série de 1 et 0 qui ~~termine~~
terminent un différentiel de prédiction transformé, quantifié

Paramètre	Valeur (<i>pour ex- emple</i>)	Description
N	5	Le nombre de valeurs supérieures à 0.
$T1$	2	Le nombre de 1.
TZ	1	Le nombre de 0, commençant du début de la séquence jusqu’à la dernière valeur supérieure à 0.
RB	1	Le nombre de 0 entre les deux dernières valeurs supérieures à 0.

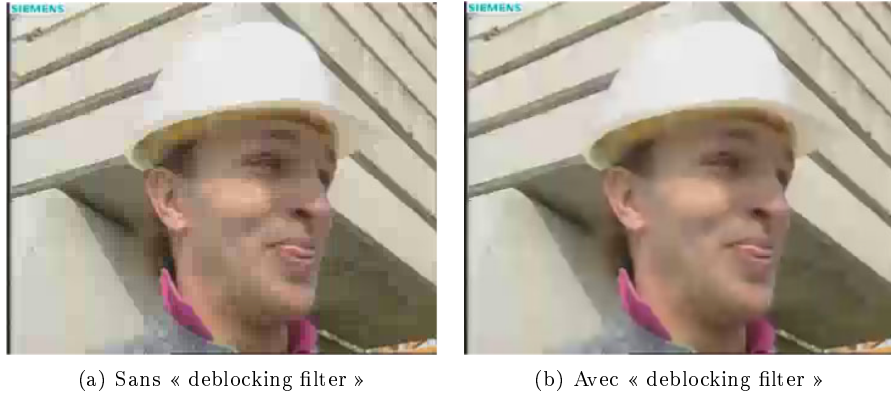


FIGURE 9 – Performance du *deblocking filter* pour une trame fortement compressée ref. [2].

la Figure 9. Beaucoup plus qu’un simple filtre, le *deblocking filter* (SC-French please) tient compte du pas de quantification ainsi que du type de prédiction ~~utilisée~~
utilisé pour encoder les blocs, afin d’ajuster l’intensité du lissage.

La norme H.264 définit deux seuils qui régissent le comportement du *deblocking filter*. Soit α pour l’écart entre les pixels en bordure de deux blocs :

$$|p_0 - q_0| < \alpha(\text{Indice}_A)(\text{SC} - \text{nepasmettreindiceenitalic}) \quad (12)$$

et β pour l’écart entre les pixels à la bordure d’un même bloc :

$$|p_1 - p_0| < \beta(\text{Indice}_B) \quad (13)$$

$$|q_1 - q_0| < \beta(\text{Indice}_B) . \quad (14)$$

Où p et q sont les pixels en bordure de blocs tel qu’illustré ~~dans~~
à la Figure 10,

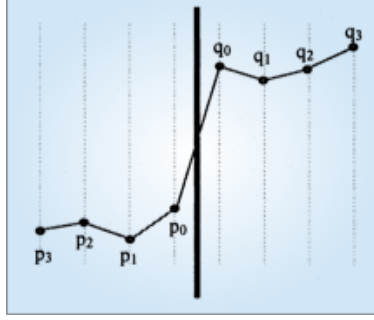


FIGURE 10 – Visualisation unidimensionnelle d'une bordure de bloc qui requiert l'intervention du « deblocking filter », inspiré de [6].

l'encodeur peut biaiser les *Indices* à l'aide d'un décalage tel que

$$Indices_A(x) = \text{Min}(\text{Maxmin}(\text{max}(0, QP + Decalage_A), 51)) \quad (15)$$

$$\text{(SC - nepasmettredcalageenitalic)} Indices_B(x) = \text{Min}(\text{Maxmin}(\text{max}(0, QP + Decalage_B), 51)) . \quad (16)$$

La plage de valeur de 0 à 51 représente les valeurs possibles du paramètre de quantification (QP) (SC-qu avais utilisé QP au lieu de QP avant faut être uniforme). Cela dit, dans la formule précédente QP est le paramètre de quantification moyen entre les deux blocs évalués. Les valeurs des seuils α et β sont définies à l'aide des formules suivantes :

$$\alpha(x) = 0.8(2^{x/6} - 1) \quad (17)$$

$$\beta(x) = 0.5x - 7 \quad (18)$$

(SC-définir x dans la formule précédente)

Afin de savoir si un lissage doit être appliqué, et si oui, à quelle intensité, le paramètre d'intensité de la bordure (bS) est défini selon des règles basé sur le mode d'encodage. Celles-ci sont résumées dans la table 2.

Comme le démontre la table 2, le type de prédiction et les conditions d'encodage produisent différents degrés d'effet de bloc. C'est pourquoi il est crucial que le filtre soit ajustable. De plus, les seuils α et β permettent de prendre en compte la texture propre à l'image afin de ne pas lisser des variations de valeurs de pixels propres à l'image ~~qui s'adonnerait à être situés~~ en bordure de blocs.

L'usage du *deblocking filter* permet, pour un même niveau de qualité (mesuré avec le PSNR), d'obtenir une réduction du débit de 5 à 10% selon le contexte [6]. Ce mécanisme est un ajout important de H.264 qui le différencie de ces prédécesseurs. Quoique plusieurs utilisaient des *deblocking filter*, peu le rendaient obligatoire comme le fait la norme H.264. Son ajout dans la chaîne d'encodage

TABLE 2 – Règles guidant l'intensité du deblocking filter en fonction des conditions d'encodages.

Condition d'encodage	Intensité
Prédiction Intra et en bordure de macrobloc	4 (Lissage fort)
Prédiction Intra	3
Prédiction Inter et présence de résiduel	2
Différence des vecteurs de mouvement ≥ 1	1
Prédiction Inter avec des trames de références différentes	1
Sinon	0 (Aucun lissage)

décodage fait en sorte que ses améliorations sont ~~pris~~-prises en compte lors des prédictions inter-image.

Références

- [1] G. J. Sullivan and T. Wiegand, “Video Compression - From Concepts to the H.264/AVC Standard,” *Proceedings of the IEEE*, vol. 93, no. 1, pp. 18–31, January 2005.
- [2] R. Schäfer, T. Wiegand, and H. Schwarz, “The emerging H.264/AVC standard,” *EBU Technical review*, January 2003.
- [3] I. E. Richardson, *H.264 and MPEG-4 Video Compression : Video Coding for Next Generation Multimedia*, Wiley, 1 edition, August 2003.
- [4] T. Wiegand, G. J. Sullivan, G. Bjontegaard, and A. Luthra, “Overview of the H.264/AVC video coding standard,” *IEEE Transactions on Circuits and Systems for Video Technology*, vol. 13, no. 7, pp. 560–576, July 2003.
- [5] H. S. Malvar, A. Hallapuro, M. Karczewicz, and L. Kerofsky, “Low-complexity transform and quantization in h.264/avc,” *IEEE Trans. Circuits Systems Video Technology*, pp. 598–603, 2003.
- [6] P. List, A. Joch, J. Lainema, G. Bjontegaard, and M. Karczewicz, “Adaptive deblocking filter,” *Circuits and Systems for Video Technology, IEEE Transactions on*, vol. 13, no. 7, pp. 614–619, 2003.

(SC- il y a h.264 avc dans la biblio, il faut H.264 et AVC)